

Kategorie:Biochemie

Subcategories

This category has the following 4 subcategories, out of 4 total.

B

- ▶ Biochemická schémata (1 C, 209 F)

F

- ▶ FBLT (119 P, 28 F)

K

- ▶ Klinická biochemie (205 P, 36 F)

M

- ▶ Molekulární biologie (133 P, 15 F)

Pages in category "Biochemie"

The following 200 pages are in this category, out of 922 total.

(previous page) (next page)

2

- 25-hydroxycholekalciferol

7

- 7-dehydrocholesterol

A

- ABR/Otázky a kazuistiky
- Absorbance
- Acetaldehyd
- Aceton
- Acetyl-CoA
- Acetylcholin
- Acidobazické indikátory
- Acidobazické reakce
- Addisův sediment
- Adenosintrifosfát
- Adenylátcycláza
- ADH
- Adrenalin
- Aflatoxín
- Aktivace mastných kyselin
- Aktivní transport
- Akční a sumační potenciály
- Alanin
- Albinismus
- Albumin
- Albumin/stanovení
- Albuminurie
- Alfa-1-mikroglobulin
- Alfa-2-makroglobulin
- Alfa-fetoprotein
- Alfa-oxidace a omega-oxidace mastných kyselin
- Alkalická fosfatáza
- Alkohol
- Alkoholy a fenoly
- Allosterická regulace enzymové aktivity
- Amfipatický charakter molekul

- Amfolyty
- Aminokyseliny
- Aminokyseliny (1. LF UK, NT)
- Aminokyseliny (FBLT)
- Aminokyseliny, peptidy, bílkoviny (1. LF UK, NT)
- Aminopterin
- Aminotransferázy
- Amoniak
- Amplifikace, integrace a vzájemná komunikace („cross-talk“) signálních drah
- Amyláza
- Amyláza (heslo)
- Amyláza/charakteristika
- Amyláza/interpretace
- Amyláza/průkaz makroamylázy
- Amyláza/stanovení
- Amyláza/stanovení ve stolici
- Analytická chemie
- Analytické disperze
- Androgeny (fyziologie)
- Androgeny a antiandrogeny (farmakologie)
- Anorganické látky v budovách
- Anthokyany
- Antidota při intoxikacích
- Antigen
- Antioxidační ochrana lidského těla
- Antitrypsin
- Anémie
- Anémie ze snížené tvorby erytrocytů
- Apoptóza
- Architektura biologických membrán
- Arginin
- Arsen
- Arsenazo III
- Ateroskleróza
- Atomová absorpční fotometrie
- Atomová absorpční fotometrie/Podrobnosti
- Autofagie, Hayflickův limit, telomeráza
- Automatické pipety
- Azauracil

B

- Bakteriální chromozom
- Barevnost látek
- Beerův zákon
- Benzalkonium chlorid
- Benzin
- Beta oxidace mastných kyselin (FBLT)
- Beta-2-mikroglobulin
- Beta-karoten
- Bilirubin
- Biochemická analýza krve
- Biochemická vyšetření jater
- Biochemická vyšetření pankreatu
- Biochemická vyšetření u akutního infarktu myokardu
- Biochemická vyšetření v psychiatrii
- Biochemické analyzátor
- Biochemické ukazatele akutního infarktu myokardu
- Biochemické vyšetření mozkomíšního moku
- Biochemické vyšetření u hyperlipoproteinémie
- Portál:Biochemie
- Biochemie genového inženýrství
- Biochemie procesu vidění
- Biochemie virů
- Portál:Biochemie/Uchování a exprese genetické informace
- Bioenergetika buňky
- Biologická membrána
- Biosyntéza nukleových kyselin
- Biosyntéza nukleových kyselin a proteosyntéza v mitochondriích
- Biotin
- Biotransformace
- Biuret
- Biuretová reakce
- Blackfanova-Diamondova anémie
- Bohrův efekt

- Bromouracil
- Bromymolová modř
- Bunsenův kahan
- Buněčná membrána
- Buněčná signalizace
- Buněčné dýchání
- Buněčný cyklus
- Buňka
- Báze
- Bílkoviny (1. LF UK, NT)
- Bílkoviny v mozkomíšním moku
- Bílkoviny v séru a moči (1. LF UK, VL)
- Bürkerova komůrka

C

- C-peptid
- CAMP (biochemie)
- Celková bílkovina
- Celková tělesná voda
- Centrifugace
- Ceruloplasmin
- Chaperony
- Charakteristika nádorově transformovaných buněk
- Cheláty
- Chemicky řízené iontové kanály
- Chemická aktivita
- Chemická rovnováha
- Chemická sloučenina
- Chemická vazba
- Chemické reakce
- Chemické reakce (FBLT)
- Chemické reakce v metabolismu
- Chemické vlastnosti hlavních biogenních prvků
- Chemické vyšetření moči mokrou cestou
- Chemický potenciál (FBLT)
- Chemie živin
- Chinin
- Chloramin B
- Chlorhexidin
- Cholecystokinin
- Cholesterol
- Cholinesteráza
- Chromatografie
- Chromatografie na tenké vrstvě
- Chuť a čich
- Citrátový cyklus
- Co pohání naše buňky
- Uživatel:Cooba/Pískoviště
- Coomassie brilliant blue G 250
- Coriho cyklus
- Uživatel:CPRmaster/Pískoviště
- Cystein
- Cytochrom P450
- Cytokiny
- Cytologické vyšetření mozkomíšního moku

D

- Další významné deriváty aminokyselin
- Uživatel:David.Mirth/Kniha
- De Ritisův koeficient
- Dechové testy (rozcestník)
- Defekty metabolismu aminokyselin
- Deficit glukózo-6-fosfát dehydrogenázy
- Degradace aminokyselin
- Degradace proteinů
- Degradace proteinů na proteazomech
- Degradace uhlíkatých skeletů aminokyselin
- Degradační systém buňky
- Dehydratace (pediatrie)
- Dekarboxylace - tvorba biogenních aminů
- Denaturace nukleových kyselin, molekulární hybridizace
- Deriváty hemoglobinu
- Družičky hemoglobinu/Chlorofluorometrické drahokamy hemoglobinu...

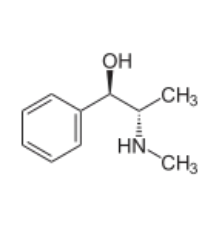
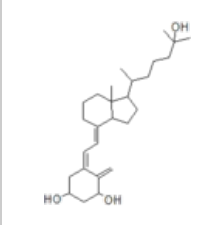
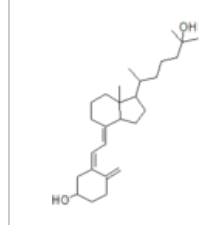
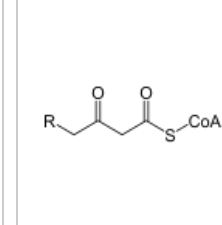
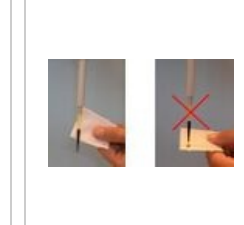
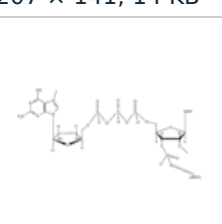
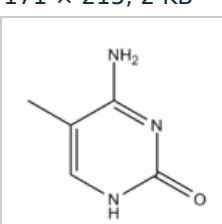
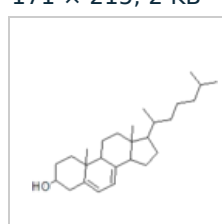
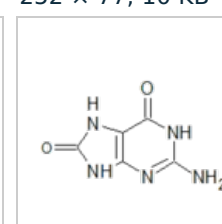
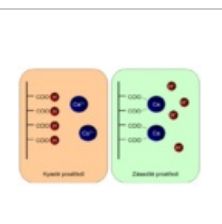
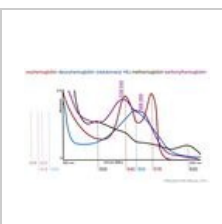
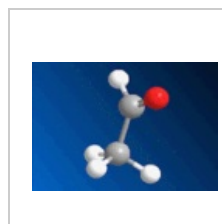
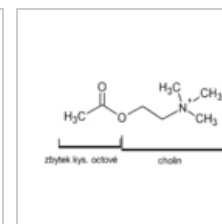
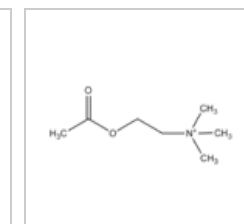
- Derivaty nemogličinu/Spektrorotometrie derivátu nemogličinu
- Detoxifikace
- Deubikvitinace
- Dezinficiencia a antiseptika
- DGGE
- Diabetes insipidus
- Diabetes mellitus
- Diabetes mellitus 1. typu (biochemie)
- Diabetes mellitus 2. typu (biochemie)
- Dialýza roztoků
- Dichlorbenzendiazoniumtetrafluoroborát
- Diferenciální diagnostika ikteru
- Diuréza
- DMSA
- DNA čipy
- Dodecylsíran sodný
- Dopamin
- Doporučený postup vyšetření při podezření na akutní infarkt myokardu
- Draslík z pohledu pacienta s chronickou renální insuficiencí
- Dromotropie
- Druží poslové
- DsDNA
- Dusičnan stříbrný
- Dyslipidémie
- Dýchací řetězec
- Dýchací řetězec a oxidativní fosforylace
 - Dýchací řetězec a tvorba ATP (FBLT)

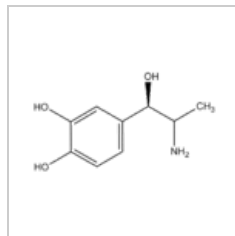
(previous page) (next page)

Media in category "Biochemie"

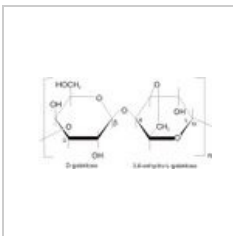
The following 200 files are in this category, out of 487 total.

(previous page) (next page)

				
(-)Ephedrin.svg 207 × 141; 14 KB	1,25-hydroxychole... 171 × 215; 2 KB	25-hydroxychole... 171 × 215; 2 KB	3-Ketoacyl-CoA.svg 252 × 77; 10 KB	3.jpg 249 × 145; 4 KB
				
5-cap mRNA.png 2,176 × 1,075; 32 KB	5-methylcytosin.... 467 × 453; 5 KB	7-dehydrocholest... 208 × 142; 2 KB	8-hydroxyguanin... 167 × 102; 1 KB	A.jpg 2,592 × 1,944; 985 KB
				
ABR a vápník.png 622 × 409; 50 KB	Absorpční spektr... 2,498 × 1,561; 440 KB	Acetaldehyd.gif 320 × 220; 2.71 MB	Acetylcholin stav... 796 × 383; 9 KB	Acetylcholin.png 820 × 352; 6 KB



Adrenalin.png
774 × 425; 7 KB



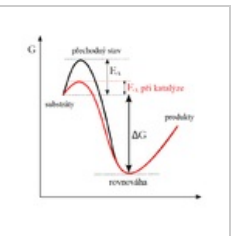
Agarosa.jpg
592 × 292; 24 KB



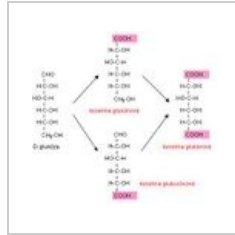
AGEs.png
2,009 × 3,044; 191 KB



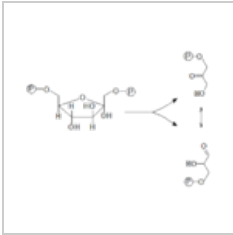
Ak-inzulin.png
1,114 × 181; 10 KB



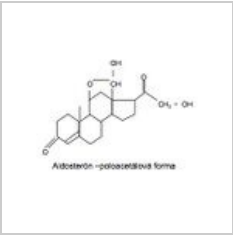
Aktivacni-energie...
642 × 609; 28 KB



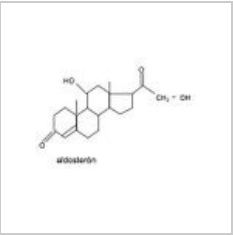
Aldarove.jpg
385 × 359; 19 KB



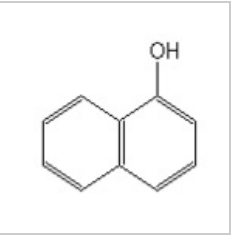
Aldolasa.png
408 × 315; 4 KB



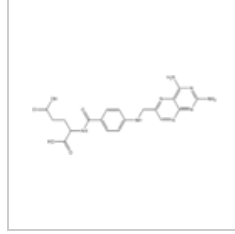
Aldosteron poloa...
275 × 213; 28 KB



Aldosteron.jpg
273 × 178; 19 KB



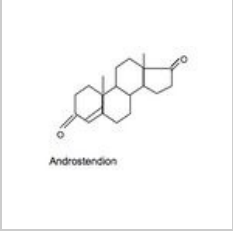
Alfa-naftol.png
122 × 113; 1 KB



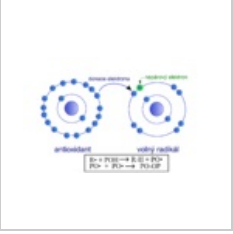
Aminopterin.png
1,760 × 743; 16 KB



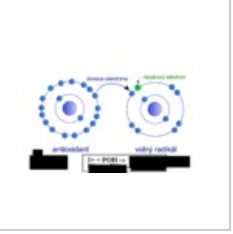
Analyzator.JPG
479 × 360; 35 KB



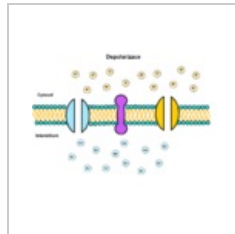
Androstendion.jpg
222 × 165; 17 KB



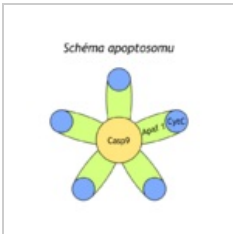
Antioxidační účin...
1,580 × 989; 172 KB



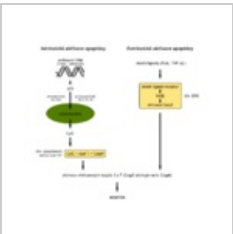
Antioxidační účin...
1,580 × 989; 214 KB



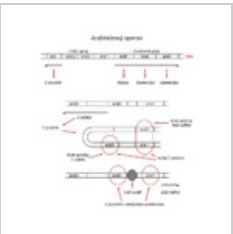
AP.gif
800 × 600; 5.85 MB



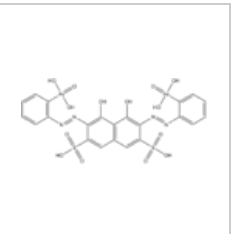
Apoptosom.png
640 × 640; 25 KB



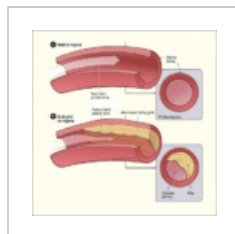
Apoptóza.png
1,024 × 1,024; 33 KB



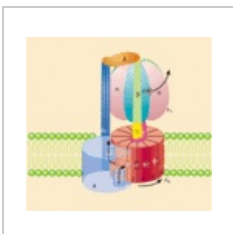
Arabinózový oper...
720 × 804; 37 KB



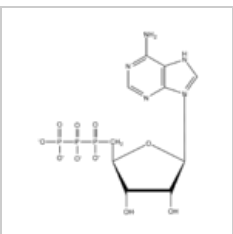
Arsenazo III.png
1,537 × 701; 22 KB



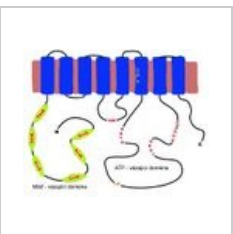
Atherosclerosis d...
450 × 451; 39 KB



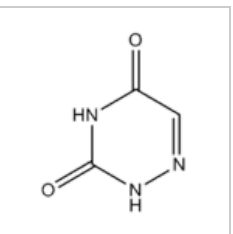
ATP synthase.gif
600 × 567; 46 KB



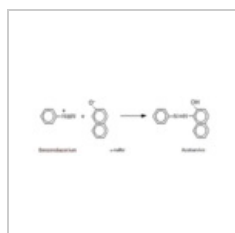
ATP.png
979 × 1,120; 15 KB



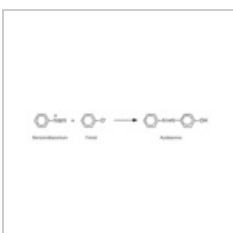
Atp7b.jpg
650 × 519; 56 KB



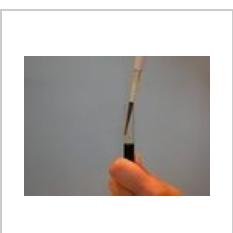
Azauracil.png
345 × 424; 4 KB



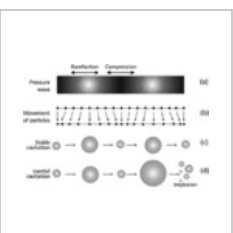
Azokopulační rea...
633 × 198; 21 KB



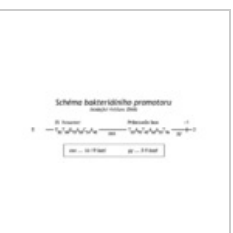
Azokopulační rea...
688 × 133; 15 KB



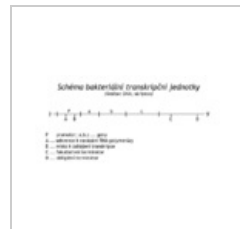
B.jpg
2,592 × 1,944; 976 KB



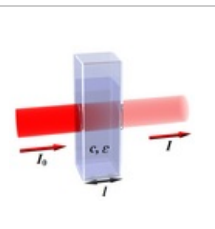
B823051j-f1.gif
392 × 260; 31 KB



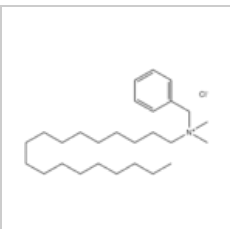
Bakteriální prom...
800 × 312; 16 KB



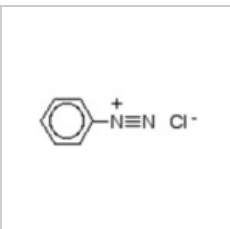
Bakteriální trans...
800 × 400; 17 KB



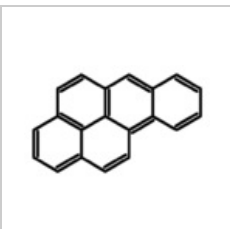
Beer lambert1.png
600 × 504; 117 KB



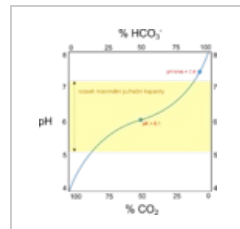
Benzalkonium ch...
1,019 × 596; 8 KB



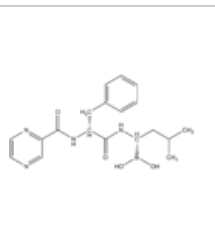
Benzendiazoni...
233 × 89; 5 KB



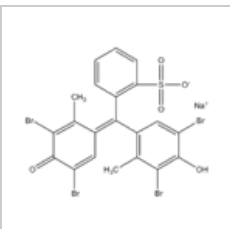
Benzopyren.png
615 × 383; 5 KB



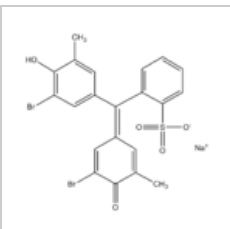
Bicarbonate buff...
1,000 × 1,040; 73 KB



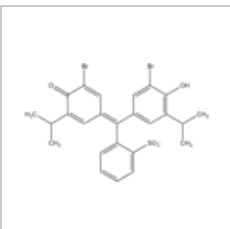
Bortezomib.png
1,271 × 660; 14 KB



Bromkresolová z...
962 × 786; 15 KB



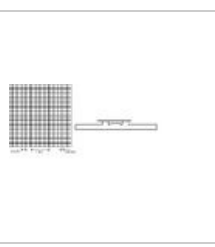
Bromkresolový p...
987 × 956; 13 KB



Bromtymolová m...
1,224 × 782; 14 KB



Bubliny1.jpg
43 × 105; 1 KB



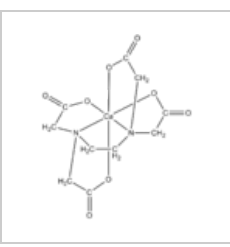
Burkerova komur...
741 × 352; 34 KB



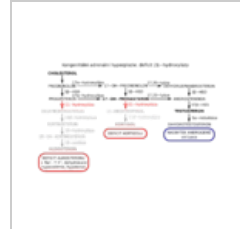
Byrety.jpg
2,502 × 1,367; 561 KB



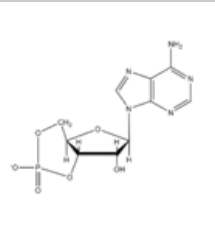
Ca-EDTA.jpg
1,016 × 144; 20 KB



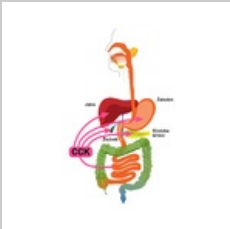
Ca-EDTA.png
830 × 1,014; 17 KB



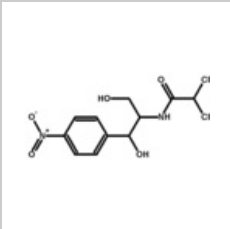
CAH z deficitu 21...
4,316 × 2,676; 511 KB



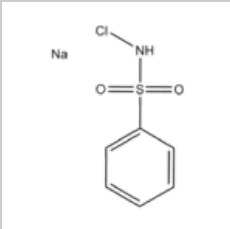
CAMP.png
1,019 × 846; 14 KB



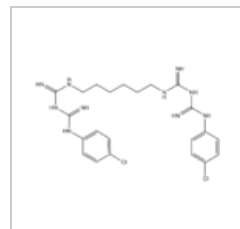
CCK.png
800 × 1,280; 214 KB



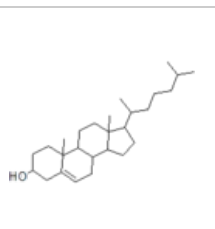
Chloramfenikol.png
752 × 365; 5 KB



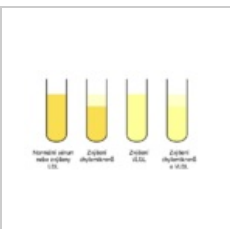
Chloramin B.png
441 × 596; 5 KB



Chlorhexidin.png
1,356 × 851; 15 KB



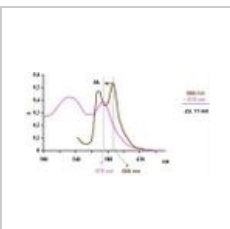
Cholesterol.png
208 × 142; 10 KB



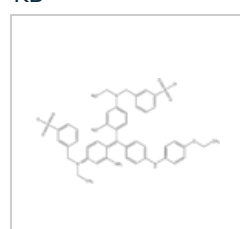
Chylomikronový ...
700 × 400; 8 KB



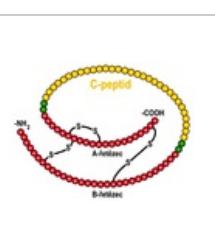
Citrátový cyklus.j...
824 × 701; 78 KB



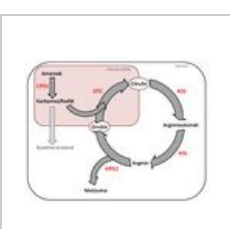
COHb-spektra.jpg
498 × 280; 15 KB



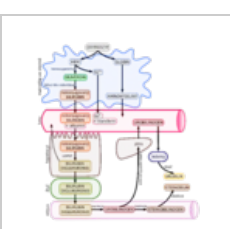
Coomassie brillian...
2,062 × 1,165; 28 KB



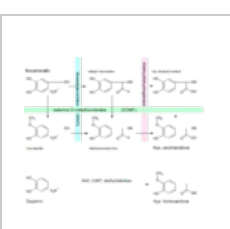
Ceptid.png
400 × 301; 56 KB



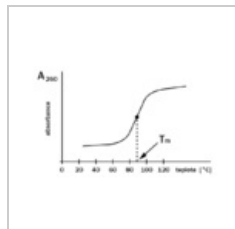
Cyklus močoviny....
875 × 683; 56 KB



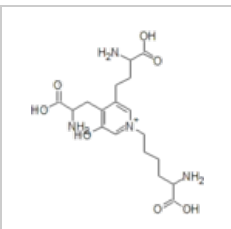
Degradace hemu...
3,905 × 4,213; 976 KB



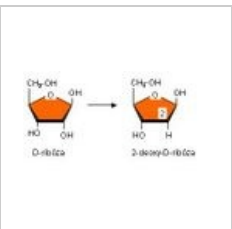
Degradace katec...
2,231 × 1,788; 91 KB



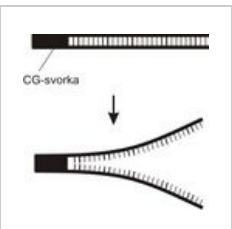
Denaturace NK.png
656 × 400; 7 KB



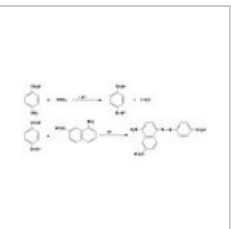
Deoxypyridinolin....
201 × 216; 2 KB



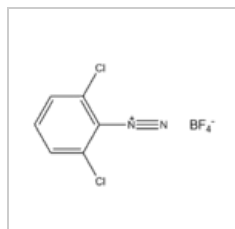
Deoxysacharidy.j...
268 × 150; 7 KB



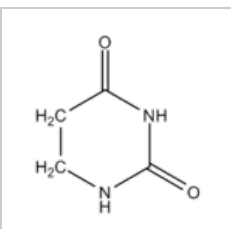
DGGE.jpg
197 × 187; 8 KB



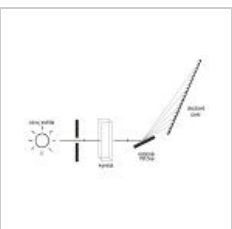
Diazotace.jpg
651 × 281; 21 KB



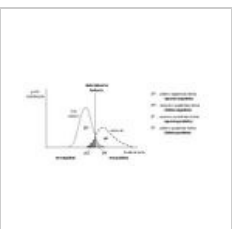
Dichlorobenzendi...
715 × 481; 6 KB



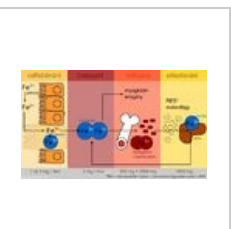
Dihydrouracil.png
420 × 453; 5 KB



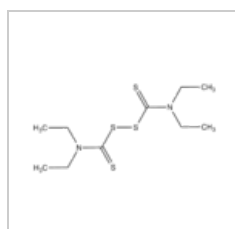
Diodové pole.jpg
960 × 720; 36 KB



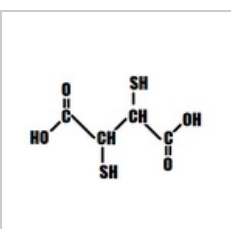
Diskr hodnota.JPG
655 × 294; 21 KB



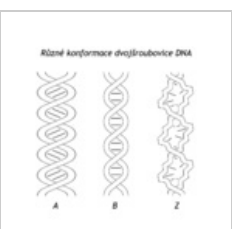
Distribuce železa...
4,096 × 2,400; 855 KB



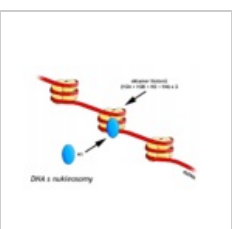
Disulfiram.png
1,016 × 499; 8 KB



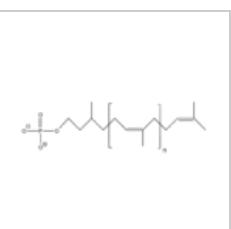
DMSA.png
289 × 172; 3 KB



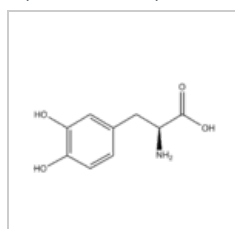
DNA konformace....
900 × 900; 47 KB



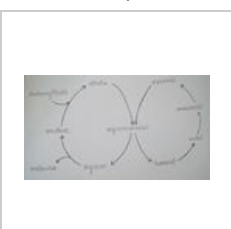
DNA s nukleoso...
800 × 542; 42 KB



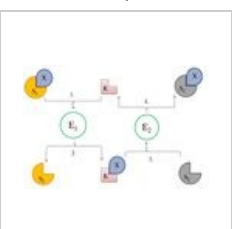
Dolichofosfat.png
1,418 × 412; 8 KB



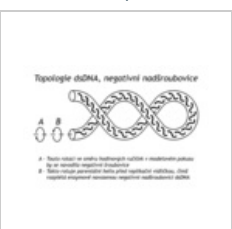
DOPA.png
867 × 423; 7 KB



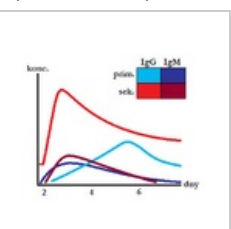
DSC 1294.JPG
2,560 × 1,440; 414 KB



DSC 1639.JPG
786 × 522; 43 KB



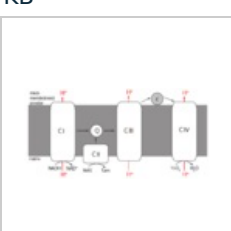
DsDNA negativní ...
600 × 400; 34 KB



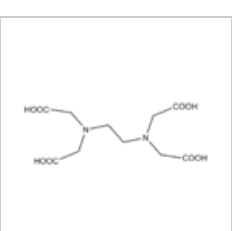
Dynamika protila...
381 × 304; 6 KB



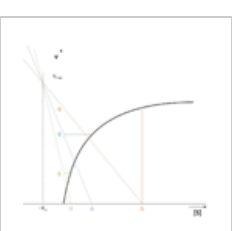
Dávkovač červen...
1,155 × 2,257; 475 KB



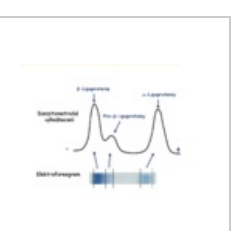
Dř-protony-cj.png
1,207 × 585; 40 KB



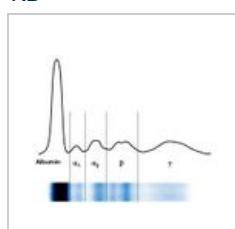
EDTA.png
937 × 322; 7 KB



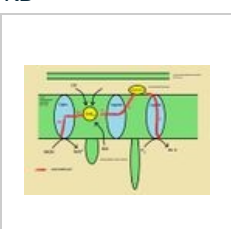
Eisenthal a Corni...
954 × 908; 52 KB



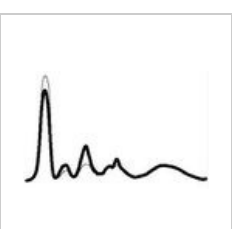
Elektroforéza lipo...
960 × 720; 103 KB



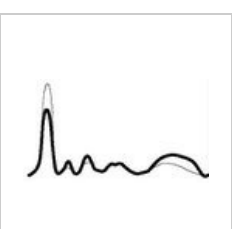
Elektroforéza.jpg
631 × 521; 36 KB



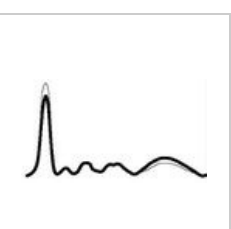
Elektronový tran...
1,112 × 780; 117 KB



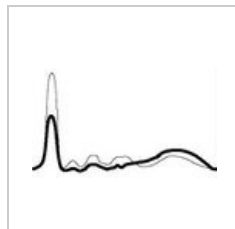
ELFO akutní záně...
412 × 261; 16 KB



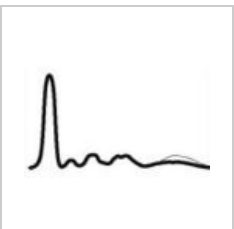
ELFO chronický a...
412 × 230; 15 KB



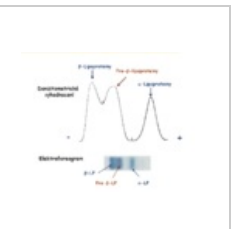
ELFO chronický z...
412 × 231; 15 KB



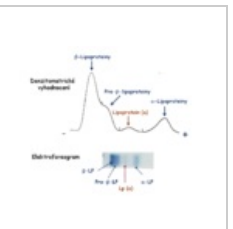
ELFO hepatální t...
412 × 245; 17 KB



ELFO hypogama...
271 × 163; 8 KB



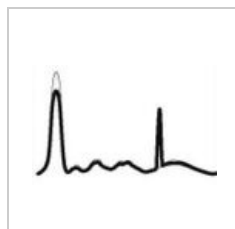
ELFO lipo s LDL a...
960 × 720; 91 KB



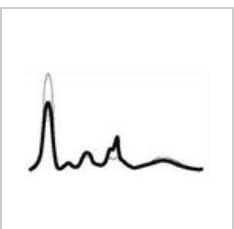
ELFO lipo s Lp a ...
880 × 720; 90 KB



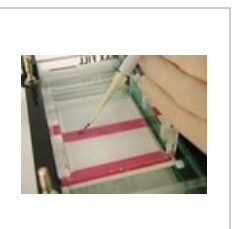
Elfo lppr nt.jpg
855 × 542; 87 KB



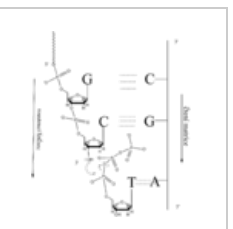
ELFO monoklonál...
271 × 175; 9 KB



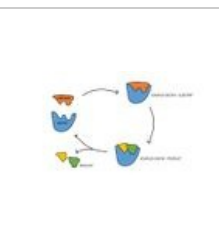
ELFO nefrotický t...
412 × 232; 16 KB



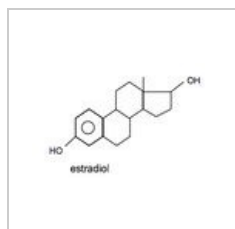
Elfo.jpg
2,272 × 1,704;
2.01 MB



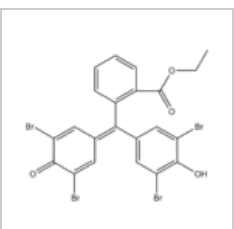
Elongace DNA.png
1,589 × 1,827; 50 KB



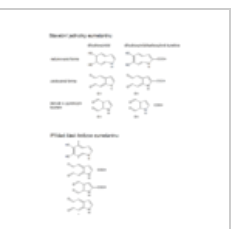
Enzym-substrát.jpg
1,280 × 720; 60 KB



Estradiol.jpg
224 × 150; 16 KB



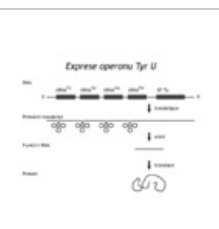
Etylester tetrabr...
897 × 751; 13 KB



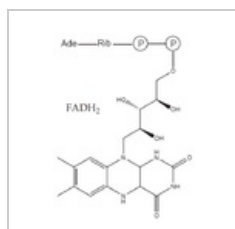
Eumelanin.png
3,043 × 4,258; 149 KB



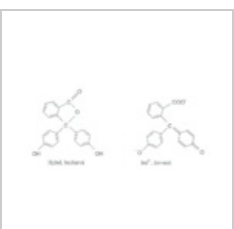
Exocyt.gif
548 × 410; 185 KB



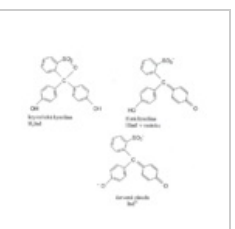
Exprese operonu...
624 × 496; 10 KB



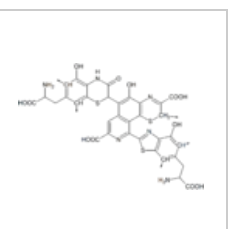
FADH2-FBLT.png
432 × 561; 15 KB



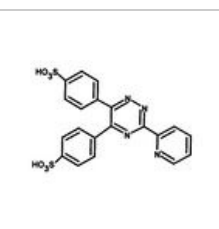
Fenolftalein.png
881 × 411; 58 KB



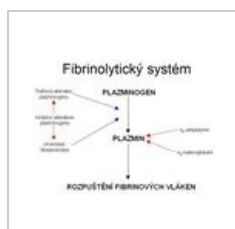
Fenolová červeň...
744 × 665; 66 KB



Feomelanin.png
2,029 × 1,384; 42 KB



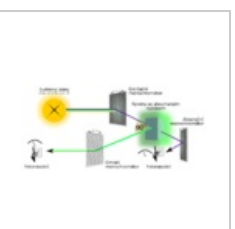
Ferrozin.jpg
827 × 595; 37 KB



Fibrinolytický sys...
812 × 595; 53 KB



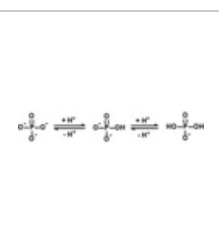
Filtrace.png
671 × 1,405; 23 KB



Fluorimeter diagr...
1,050 × 500; 36 KB



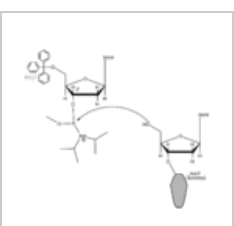
FMet-tRNA.png
2,144 × 785; 22 KB



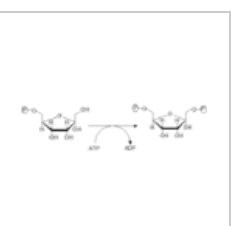
Fosfat.png
563 × 102; 2 KB



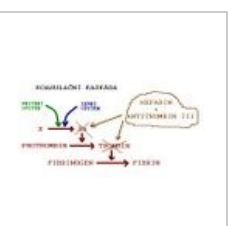
Fosfatidylcholin.p...
1,605 × 2,034; 48 KB



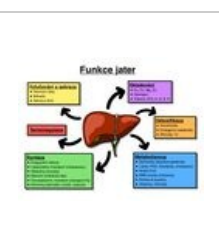
Fosfoamidit.png
1,608 × 1,377; 27 KB



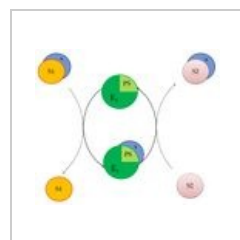
Fosfofruktokinaz...
565 × 162; 4 KB



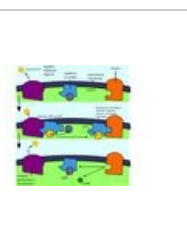
Funkce heparinu....
534 × 282; 23 KB



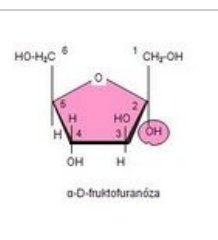
Funkce jater.jpeg
2,154 × 1,668; 478 KB



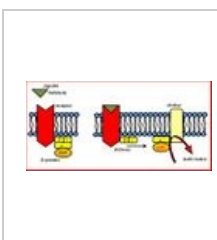
Funkce prostetic...
790 × 667; 52 KB



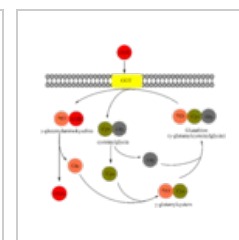
Funkce receptorů...
2,000 × 1,296; 239 KB



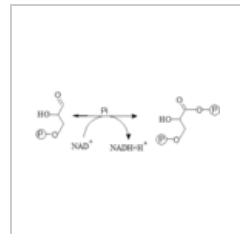
Furanoza.jpg
201 × 183; 6 KB



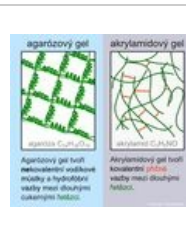
G-protein.JPG
1,002 × 483; 82 KB



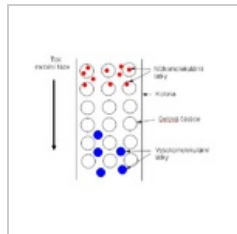
Gama-glutamyl...
1,796 × 1,592; 62 KB



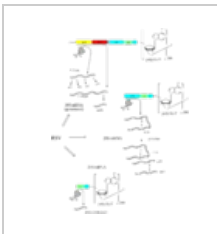
GAPdehydrogena...
365 × 122; 2 KB



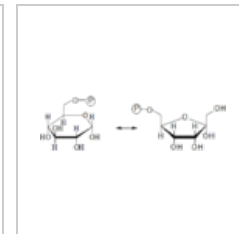
Gel111.jpg
1,525 × 1,423; 470 KB



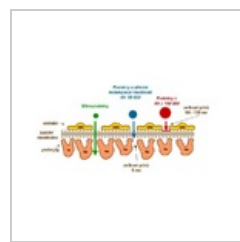
Gelová chromato...
465 × 347; 12 KB



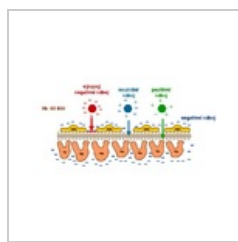
Genom RSV.png
2,049 × 2,773; 111 KB



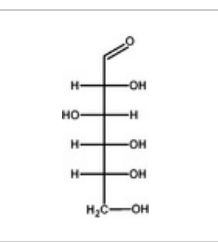
Glc6pizomeraza....
411 × 132; 3 KB



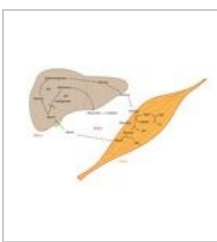
Glomerulární me...
720 × 412; 197 KB



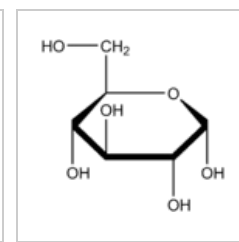
Glomerulární me...
720 × 400; 215 KB



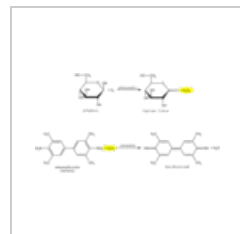
Glukoza.png
342 × 728; 8 KB



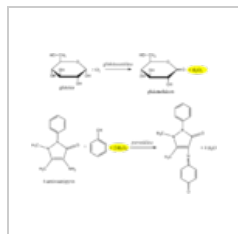
Glukozo-alaninov...
1,913 × 1,237; 264 KB



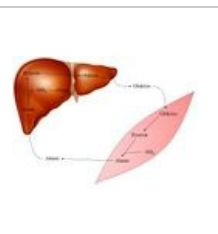
Glukóza.png
1,207 × 1,124; 18 KB



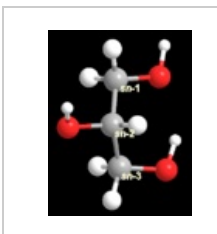
Glukózaoxidázov...
2,975 × 1,596; 58 KB



Glukózaoxidázov...
2,031 × 1,547; 47 KB



Glukózo-alaninov...
873 × 623; 78 KB



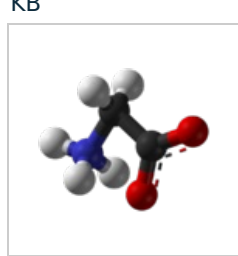
Glycerol stereoch...
386 × 496; 50 KB



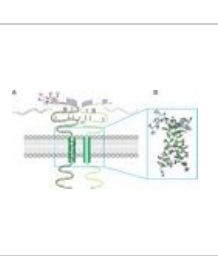
Glycerol.png
671 × 177; 4 KB



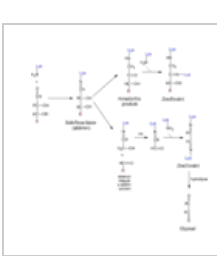
Glycerol2.png
597 × 145; 3 KB



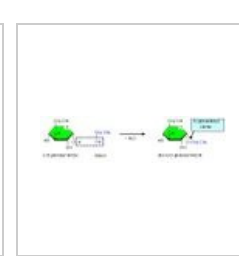
Glycin 2.png
705 × 600; 90 KB



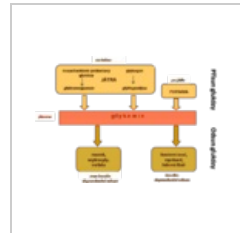
GlycophorinA fl.jpg
1,915 × 1,029; 193 KB



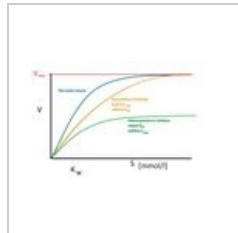
Glykace proteinů...
2,291 × 2,386; 86 KB



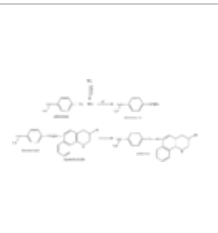
Glykozidy.jpg
547 × 137; 14 KB



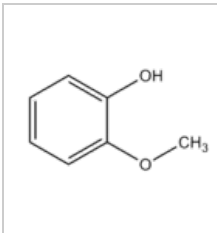
Glykémie.png
1,015 × 694; 30 KB



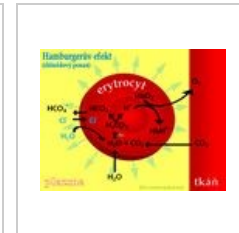
Graf-inhibice.jpg
1,481 × 937; 148 KB



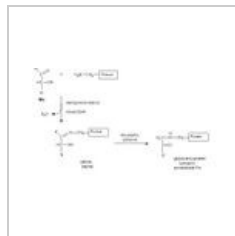
Griessova reakce...
3,157 × 1,383; 50 KB



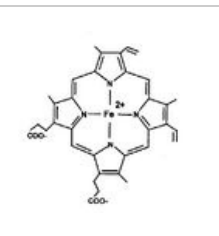
Guajakol.png
479 × 277; 4 KB



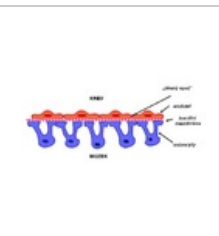
Hamburgerův efe...
678 × 520; 43 KB



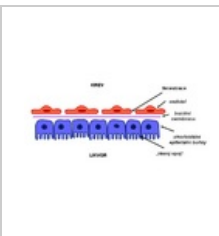
HbA1.jpg
644 × 375; 19 KB



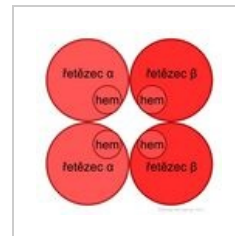
Hem.jpg
700 × 686; 33 KB



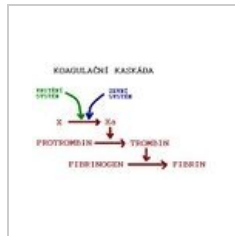
Hematoencefalický...
787 × 392; 33 KB



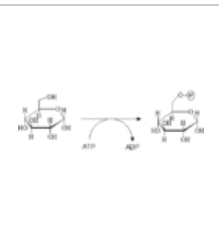
Hematolikvorová...
839 × 458; 37 KB



Hemoglobin3.jpg
2,492 × 2,495; 422 KB



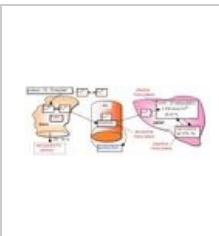
Heparin.JPG
433 × 274; 17 KB



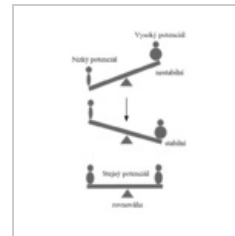
Hexokinaza,gluk...
464 × 169; 3 KB



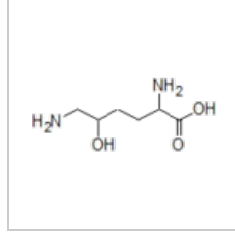
Hodnocení glyke...
922 × 911; 20 KB



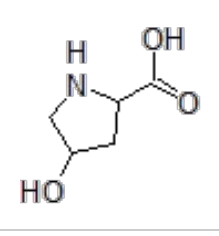
Hospodareniefe.jpg
835 × 319; 46 KB



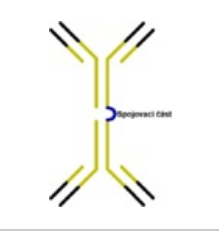
Houpacka-cj.png
399 × 611; 23 KB



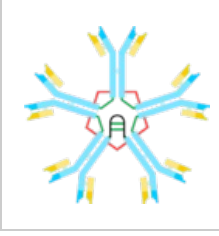
Hydroxylysin.png
152 × 63; 988 bytes



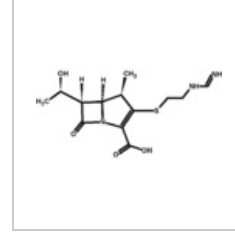
Hydroxyprolin.png
83 × 84; 799 bytes



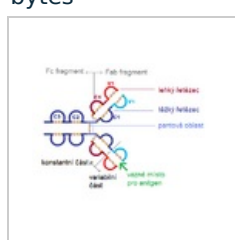
IgA.png
453 × 642; 5 KB



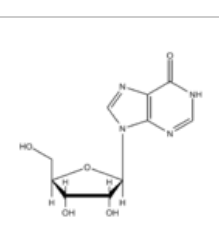
IgM.png
400 × 384; 36 KB



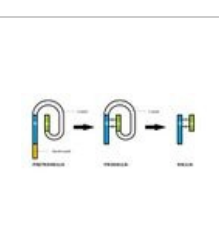
Imipenem.png
1,084 × 544; 8 KB



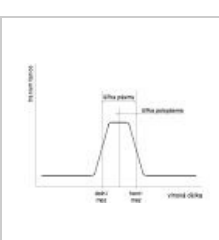
Imunoglobulin.png
500 × 376; 15 KB



Inosin.png
891 × 808; 11 KB



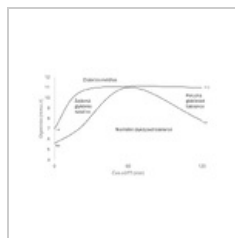
Insulin.jpg
700 × 303; 52 KB



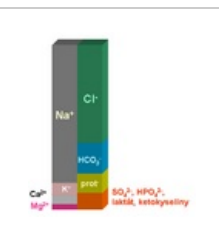
Interferenční filtr...
960 × 720; 36 KB



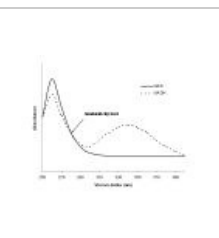
Interpretace elev...
960 × 720; 22 KB



Interpretace oGT...
1,001 × 617; 33 KB



Ionogram.png
385 × 425; 16 KB



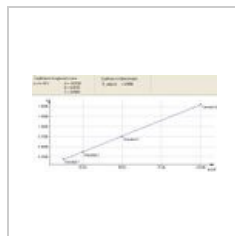
Isosbesticí bod....
960 × 720; 34 KB



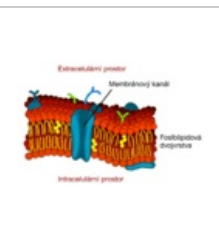
Izolace DNA náv...
1,239 × 1,754, 3 pages; 94 KB



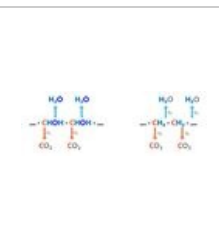
Jehla připravená ...
3,670 × 1,642; 314 KB



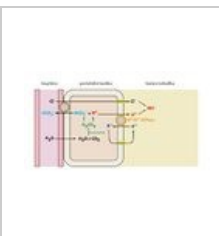
Kalibracni krivka....
644 × 334; 23 KB



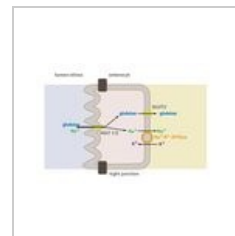
Kanalprotein 01....
2,600 × 1,767; 268 KB



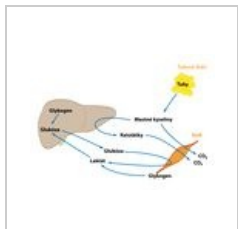
Kapitola 09 07-0...
824 × 288; 95 KB



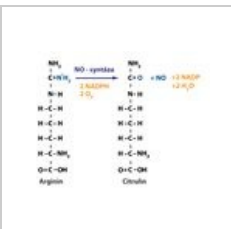
Kapitola-09-03-0...
3,169 × 1,793; 352 KB



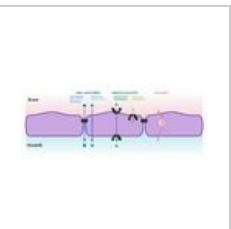
Kapitola-09-03-0...
2,881 × 1,881; 321 KB



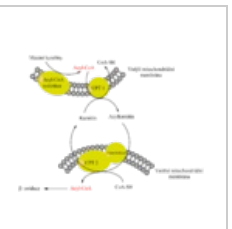
Kapitola-09-07-0...
2,600 × 1,896; 368 KB



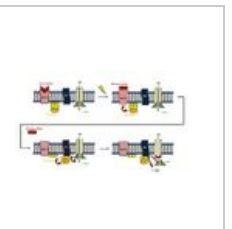
Kapitola-10-02-1...
1,945 × 1,513; 201 KB



Kapitola-12-12-0...
2,677 × 1,117; 267 KB



Karnitinový cyklu...
1,853 × 1,373; 72 KB



Kaskáda.jpg
1,169 × 651; 88 KB

(previous page) (next page)